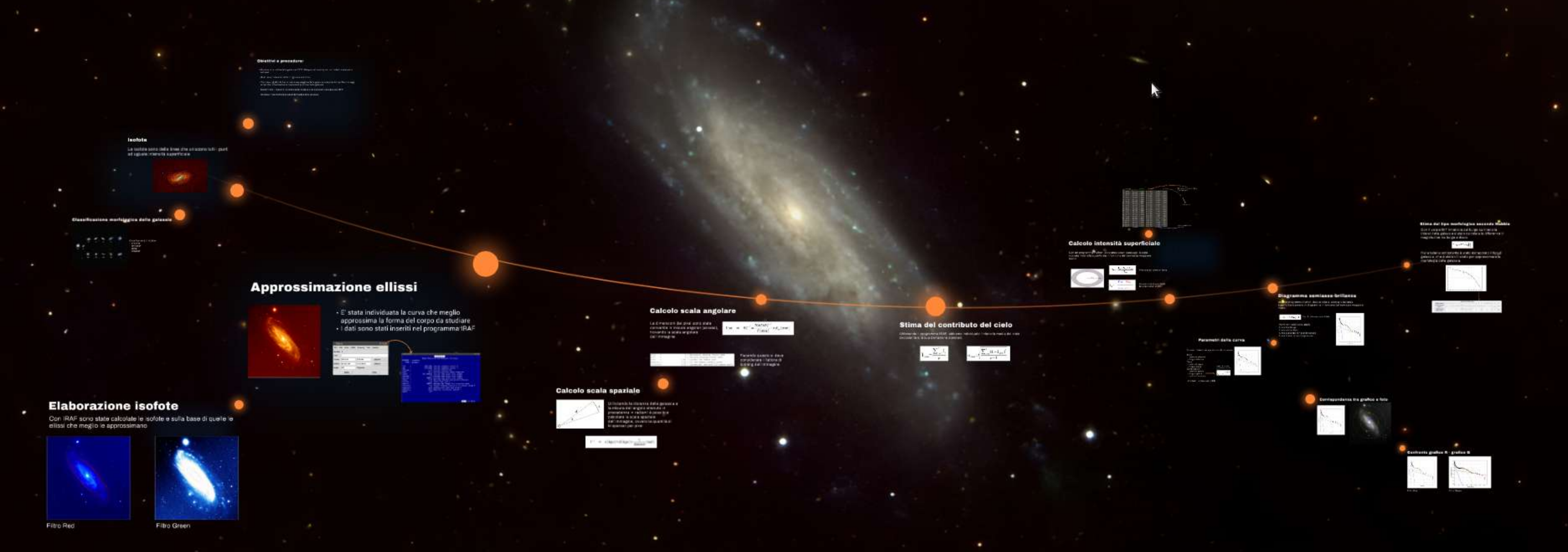
NGC3198

Analisi morfologica

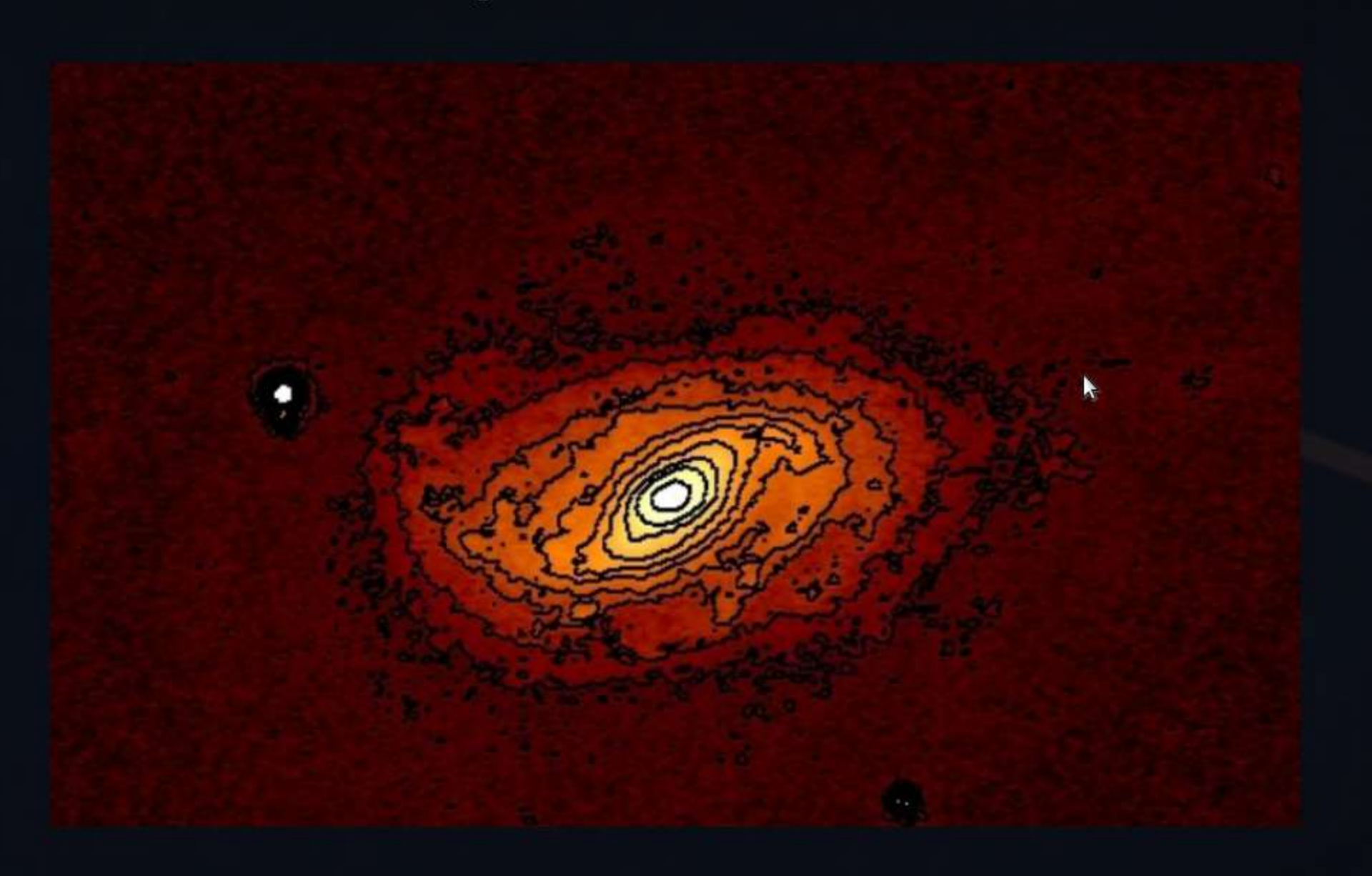


Obiettivi e procedure:

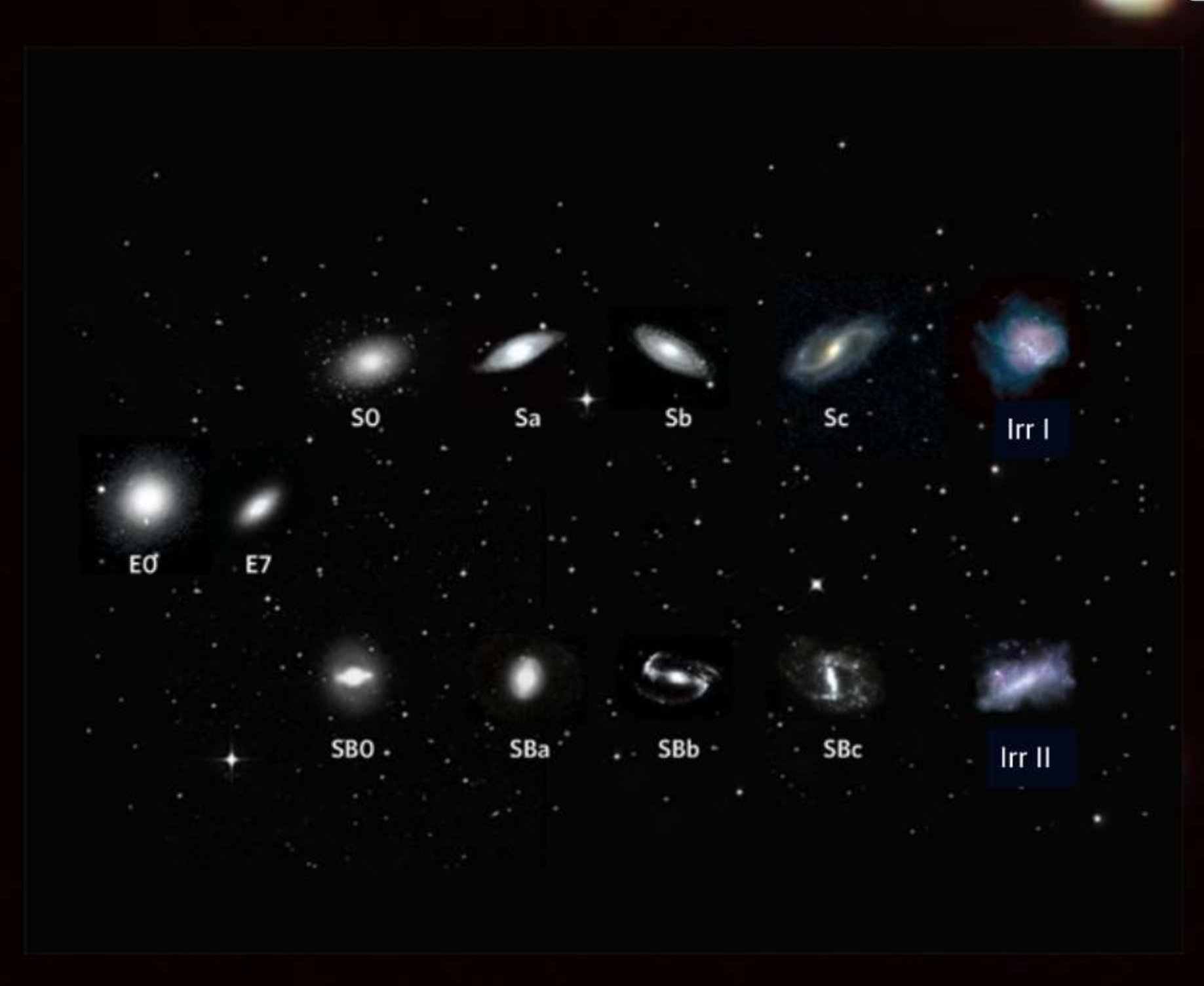
- Riprodurre le isofote della galassia NGC3198 approssimandole con un modello matematico (ellisse)
- Analizzare l'intensità media di ogni anello ellittico
- Tracciare il grafico brillanza-semiasse maggiore della galassia interpolando il profilo con leggi empiriche, individuando le componenti principali della galassia
- Determinare il rapporto tra intensità del bulge e intensità totale della galassia (B/T)
- Stimare il tipo morfologico secondo Hubble della galassia

Isofote

Le isofote sono delle linee che uniscono tutti i punti ad uguale intensità superificiale



Classificazione morfologica delle galassie



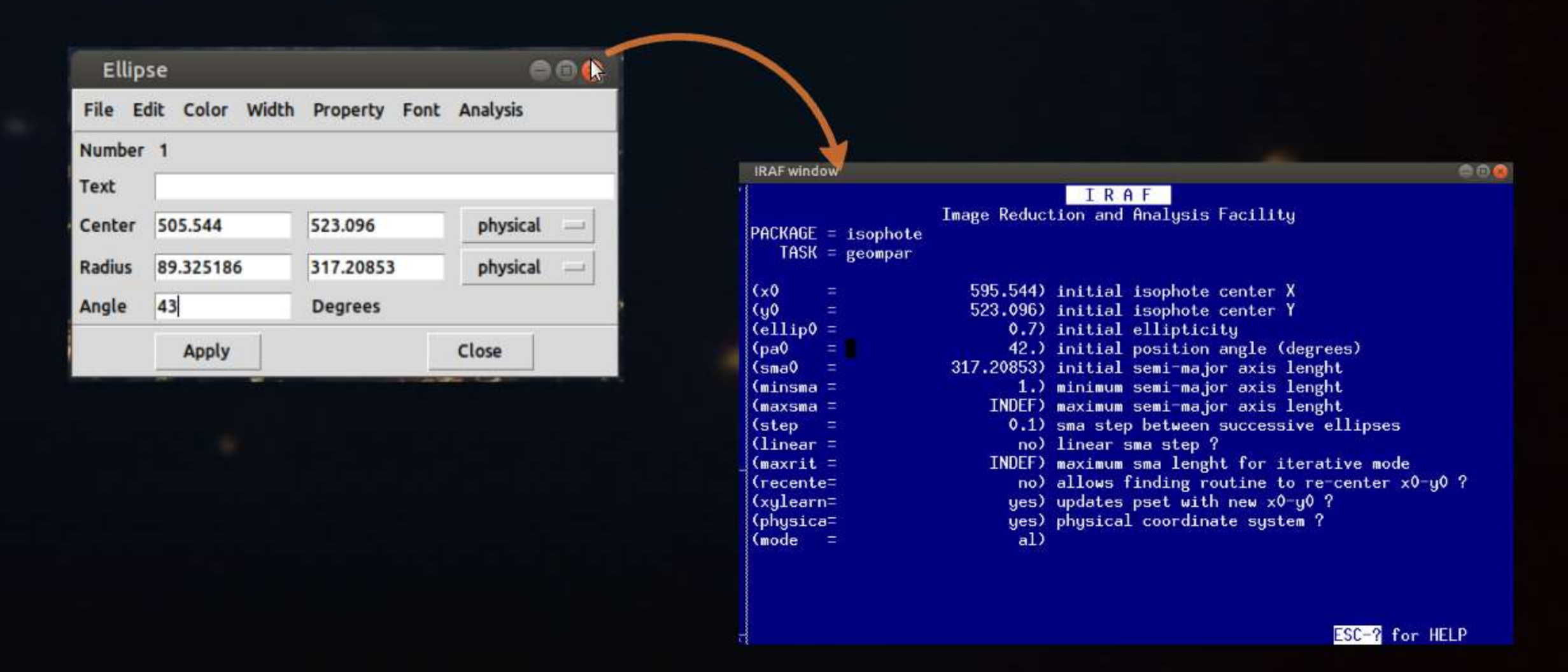
Classificazione di Hubble:

- ellittiche
- lenticolari
- spirali
- irregolari

Approssimazione ellissi



- E' stata individuata la curva che meglio approssima la forma del corpo da studiare
- I dati sono stati inseriti nel programma IRAF



Elaborazione isofote

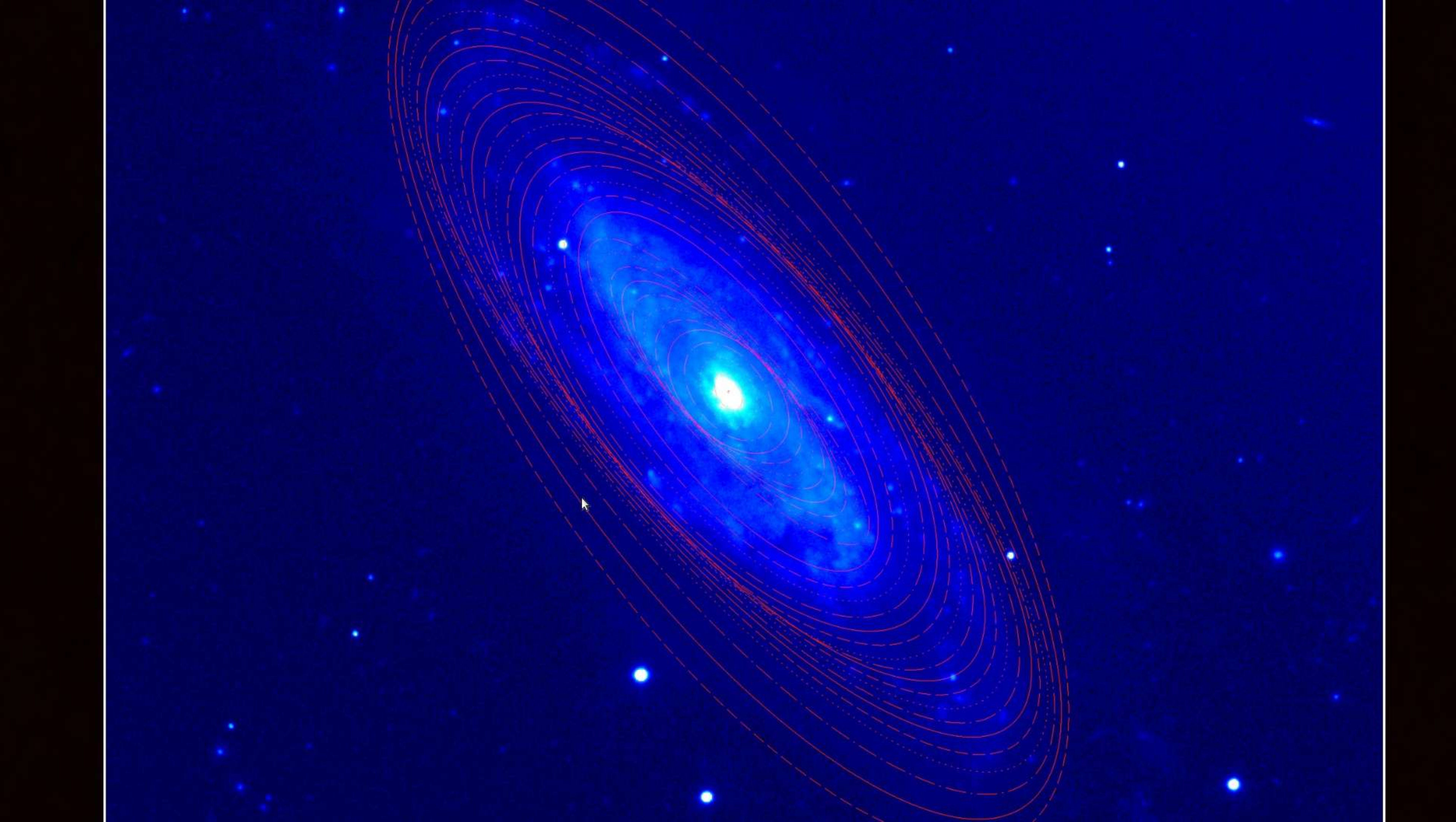
Con IRAF sono state calcolate le isofote e sulla base di quelle le ellissi che meglio le approssimano

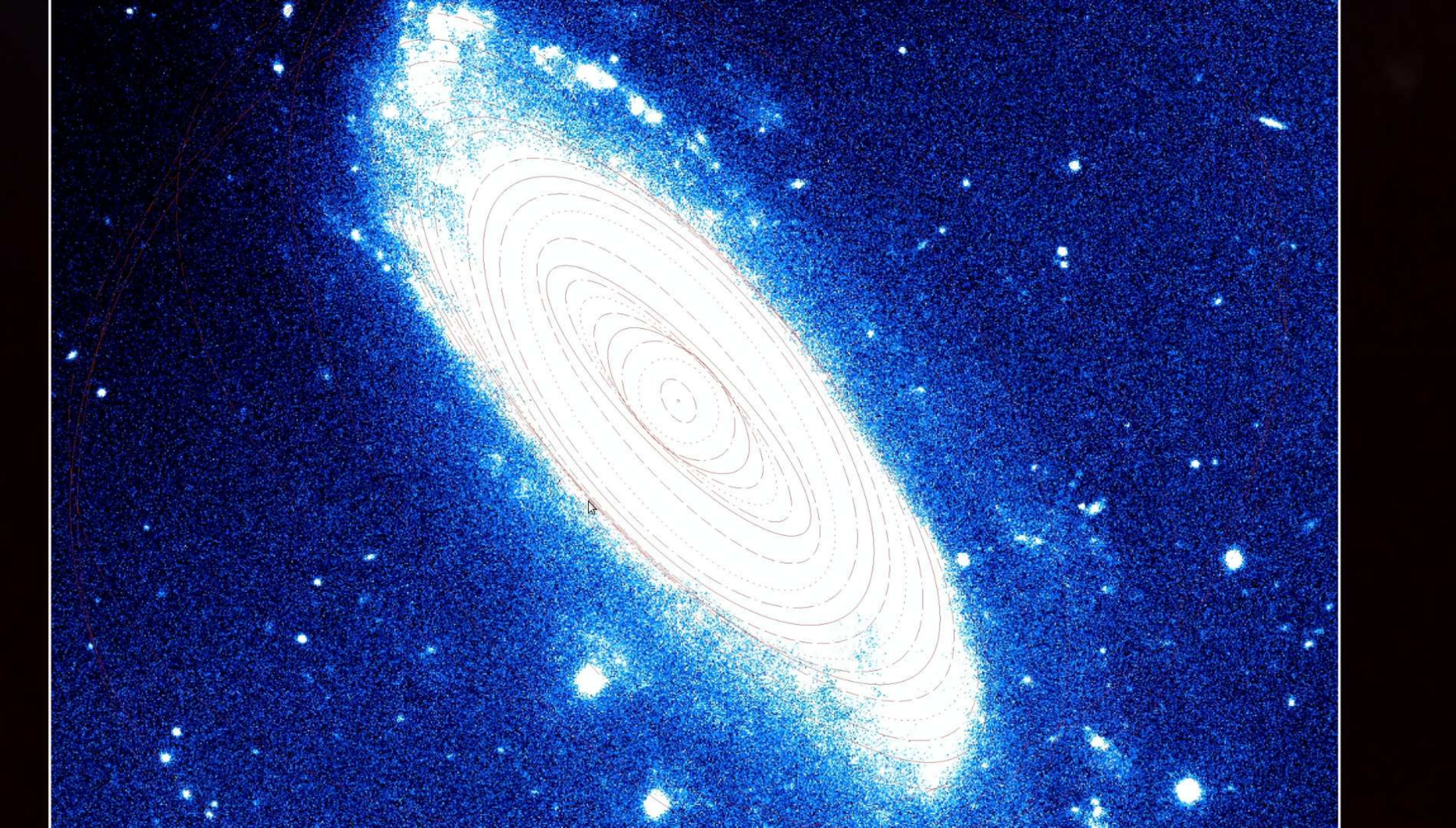


Filtro Red



Filtro Green





Calcolo scala angolare

Le dimensioni dei pixel sono state convertite in misure angolari (arcsec), trovando la scala angolare dell'immagine

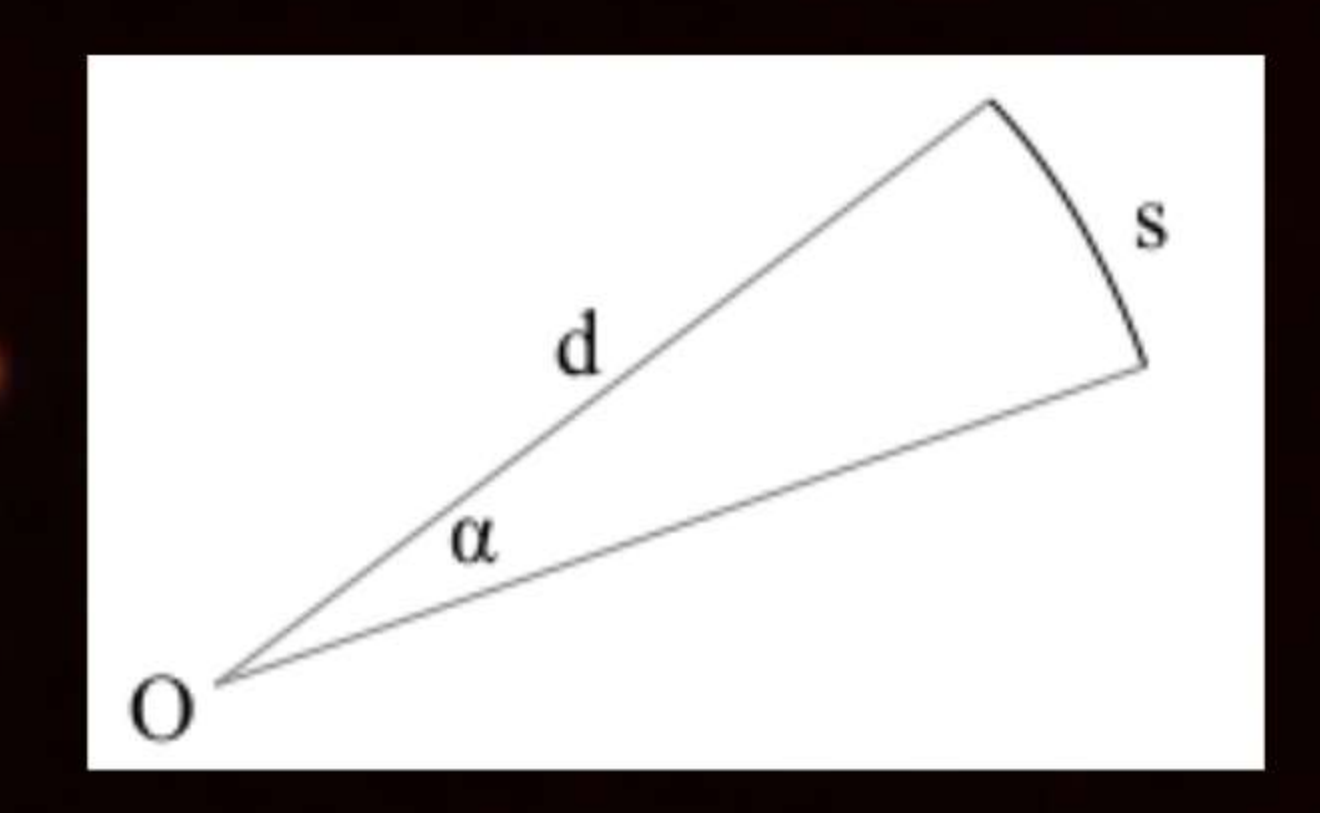
$$1 \text{ px } \Rightarrow \theta(\text{''}) = \frac{206265(\text{''})}{f(mm)} \times d_{px}(mm)$$

+

| BINX | = | 2 | 1 | Horizontal Binning factor used |
|----------|---|------|---|---------------------------------------|
| BINY | = | 2 | 1 | Vertical Binning factor used |
| GAIN | = | 1.91 | 1 | [e/ADU] CCD Camera gain |
| RDNOISE | = | 7.10 | 1 | [e] CCD Camera readout noise |
| CCDSCALE | = | 0.25 | 1 | [arcsec/px] unbinned CCD camera scale |

Facendo questo si deve considerare il fattore di binning dell'immagine

Calcolo scala spaziale



Utilizzando la distanza della galassia e la misura dell'angolo ottenuto in precedenza in radianti è possibile calcolare la scala spaziale dell'immagine, ovvero la quantità di kiloparsec per pixel

1

1''
$$\Rightarrow$$
 s(kpc)=d(kpc) $\times \frac{1}{206265}$ (rad)

Stima del contributo del cielo

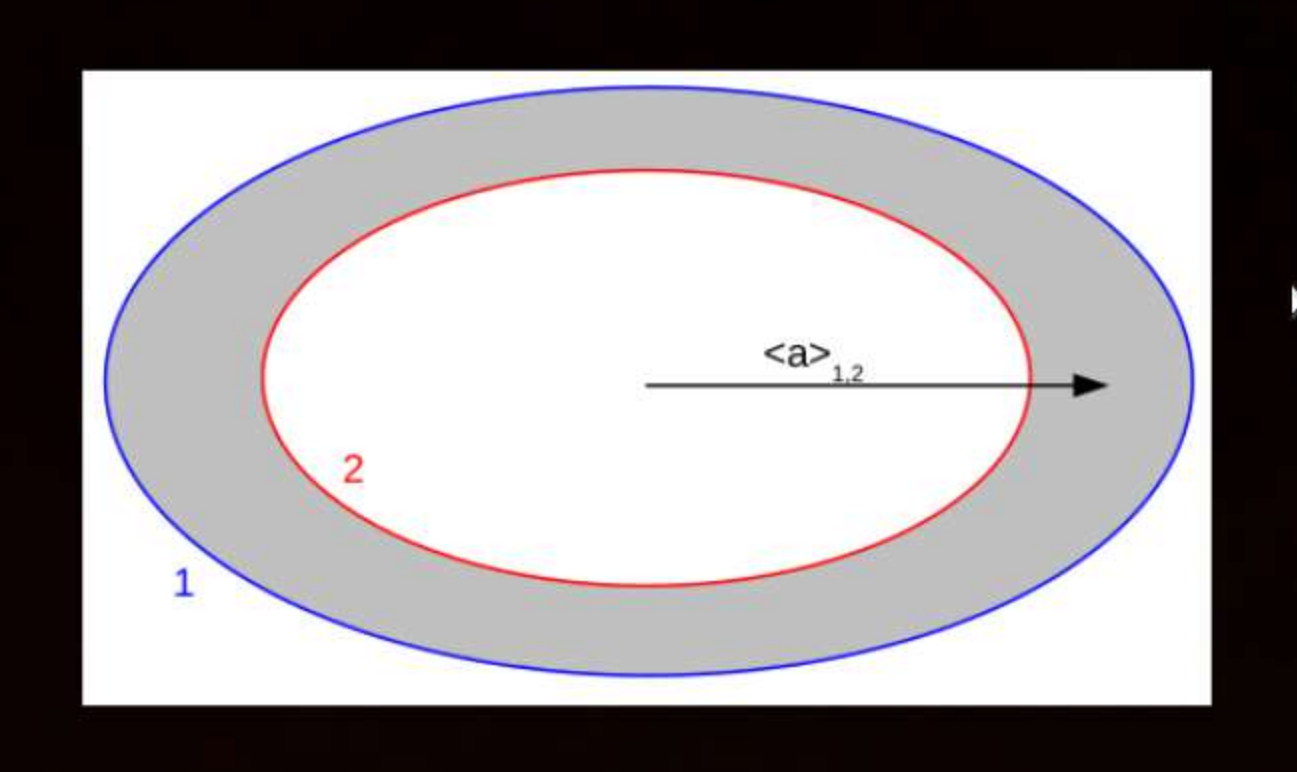
Utilizzando il programma IRAF, abbiamo individuato l'intensità media del cielo circostante e la sua deviazione standard.

$$\bar{\mathbf{I}}_{\text{cielo}} = \frac{\sum_{i=1}^{n} \mathbf{I}_{i}}{n}$$

$$\sigma_{\text{cielo}} = \sqrt{\frac{\sum_{i=1}^{n} (\mathbf{I}_{i} - \overline{\mathbf{I}}_{\text{cielo}})^{2}}{n-1}}$$

Calcolo intensità superficiale

Con un programma Python, attraverso alcuni passaggi, è stata ricavata l'intensità superficiale in funzione del semiasse maggiore medio.



$$Flux = \frac{I_{iso} - N_{px} \times \overline{I}_{cielo}}{T_{exp}}$$

Rimozione del rumore di fondo

$$I_{1,2} = \frac{\text{Flux}_{1} - \text{Flux}_{2}}{\text{area}_{1} - \text{area}_{2}}$$

Calcolo intensità superficiale dei singoli settori ellittici.

| 1 7 | # sma int | tsup relerr | | | | | |
|-----|-----------|-------------|---------|-----------|----------|---------|---------|
| 2 | 0.000 | 131.2753 | 0.01081 | 28 | 16.814 | 41.3542 | 0.01897 |
| 3 | 0.764 | 135.6585 | 0.00850 | 29 | 18.495 | 38.4297 | 0.02042 |
| 4 | 1.060 | 140.6682 | 0.00825 | 30 | 20.344 | 36.4530 | 0.02152 |
| 5 | 1.227 | 136.6070 | 0.00845 | 31 | 22.379 | 33.5837 | 0.02333 |
| 6 | 1.411 | 137.3868 | 0.00718 | 32 | 24.617 | 31.0492 | 0.02525 |
| 7 | 1.552 | 147.0367 | 0.00796 | 33 | 27.078 | 29.2291 | 0.02682 |
| 8 | 1.796 | 142.2353 | 0.00697 | 34 | 29.786 | 28.2746 | 0.02773 |
| 9 | 2.174 | 147.6272 | 0.00630 | 35 | 32.765 | 26.0984 | 0.03006 |
| 10 | 2.499 | 141.5337 | 0.00631 | 36 | 36.041 | 27.9364 | 0.02805 |
| 11 | 2.749 | 146.4670 | 0.00611 | 37 | 39.646 | 27.5594 | 0.02845 |
| 12 | 3.024 | 140.9283 | 0.00633 | 38 | 43.610 | 28.8304 | 0.02719 |
| 13 | 3.326 | 137.2617 | 0.00649 | 39 | 47.971 | 27.8377 | 0.02815 |
| 14 | 4.062 | 114.2858 | 0.00692 | 40 | 52.768 | 27.7432 | 0.02825 |
| 15 | 4.870 | 94.9788 | 0.00845 | 41 | 58.045 | 27.0849 | 0.02893 |
| 16 | 5.357 | 88.6793 | 0.00903 | 42 | 63.850 | 25.8151 | 0.03035 |
| 17 | 5.893 | 83.1476 | 0.00959 | 43 | 70.235 | 23.6805 | 0.03309 |
| 18 | 6.482 | 78.5057 | 0.01016 | 44 | 77 \$258 | 21.4789 | 0.03648 |
| 19 | 7.131 | 74.1239 | 0.01070 | 45 | | 16.7629 | 0.04673 |
| 20 | 7.844 | 69.5035 | 0.01139 | 1000000 | 93.482 | 13.5896 | 0.05765 |
| 21 | 8.628 | 64.1891 | 0.01226 | 100000 | 102.831 | 9.5724 | 0.08184 |
| 22 | 9.491 | 59.4881 | 0.01321 | 100000 | 113.114 | 6.6750 | 0.11736 |
| 23 | 10.440 | 55.9211 | 0.01321 | N. S. San | 124.425 | 5.3554 | 0.14627 |
| | | | | | 136.868 | 5.9601 | 0.13144 |
| 24 | 11.484 | 53.0959 | 0.01481 | | 150.554 | 4.8926 | 0.16011 |
| 25 | 12.632 | 50.1924 | 0.01565 | 100 | 165.610 | 3.9802 | 0.19681 |
| 26 | 13.896 | 47.8736 | 0.01641 | | 182.171 | 3.1646 | 0.24753 |
| 27 | 15.285 | 45.2380 | 0.01735 | 54 | 200.388 | 1.7585 | 0.44546 |

Semiasse maggiore medio in arcosecondi

Errore relativo

Intensità superficiale

Diagramma semiasse-brillanza

Un altro programma Python, data la tabella, calcola la brillanza superficiale e genera un diagramma in funzione del semiasse maggiore medio.

 $\mu = -2.5 \times \log_{10} I$

Calcolo brillanza superficiale

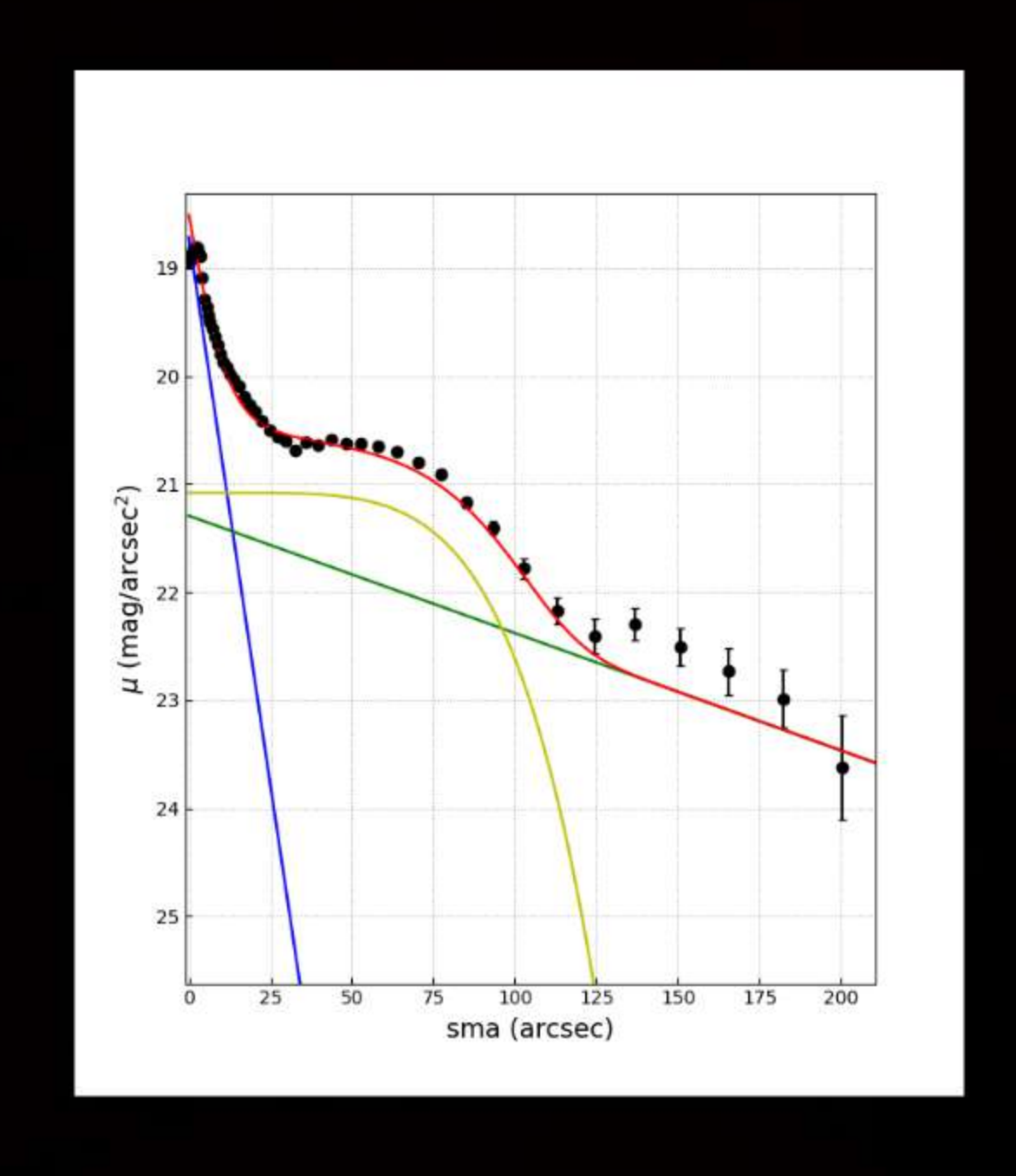
Punti neri: valori della tabella

Linea blu: bulge

Linea verde: disco

Linea gialla: barra / grande spirale

Linea rossa: curva complessiva



Parametri della curva

Parametri utilizzati per approssimare la curva reale:

Bulge:

- Intensità effettiva
- Raggio effettivo

Disco:

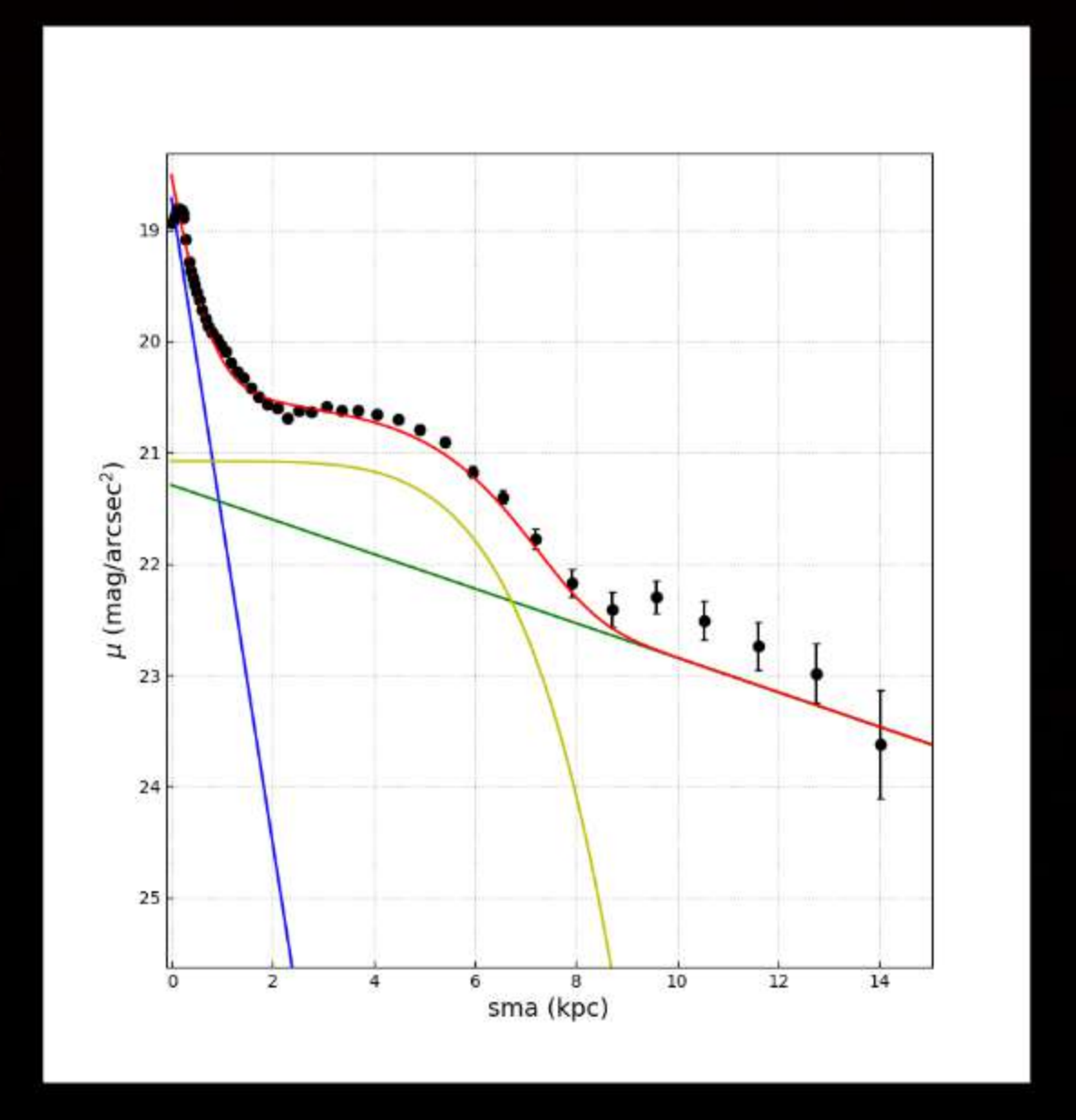
- Intensità disco
- Raggio disco

Grande Spirale:

- Intensità spirale
- Raggio spirale
- Indice di funzione

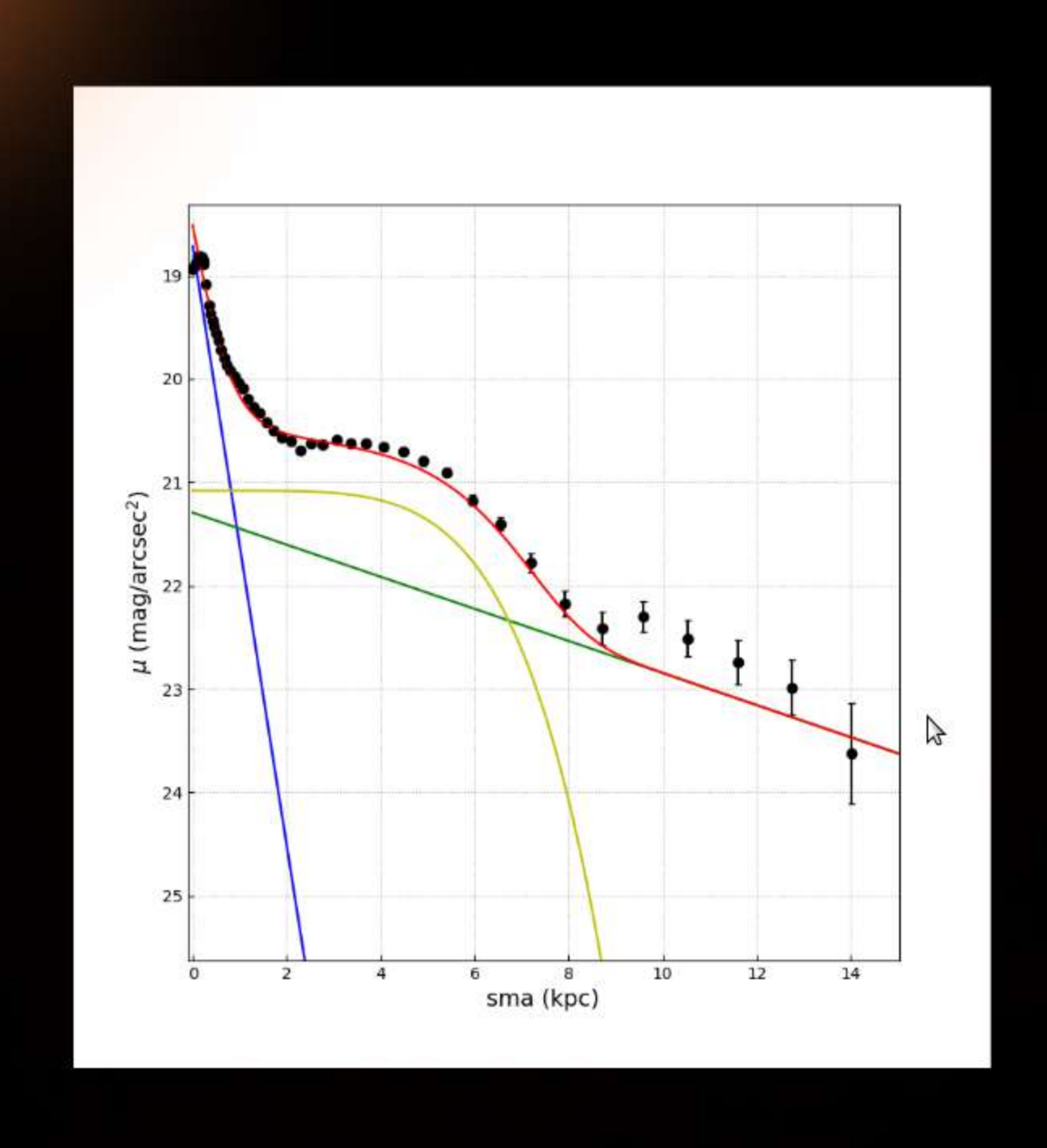
Formula di sersic per calcolare la curva della barra

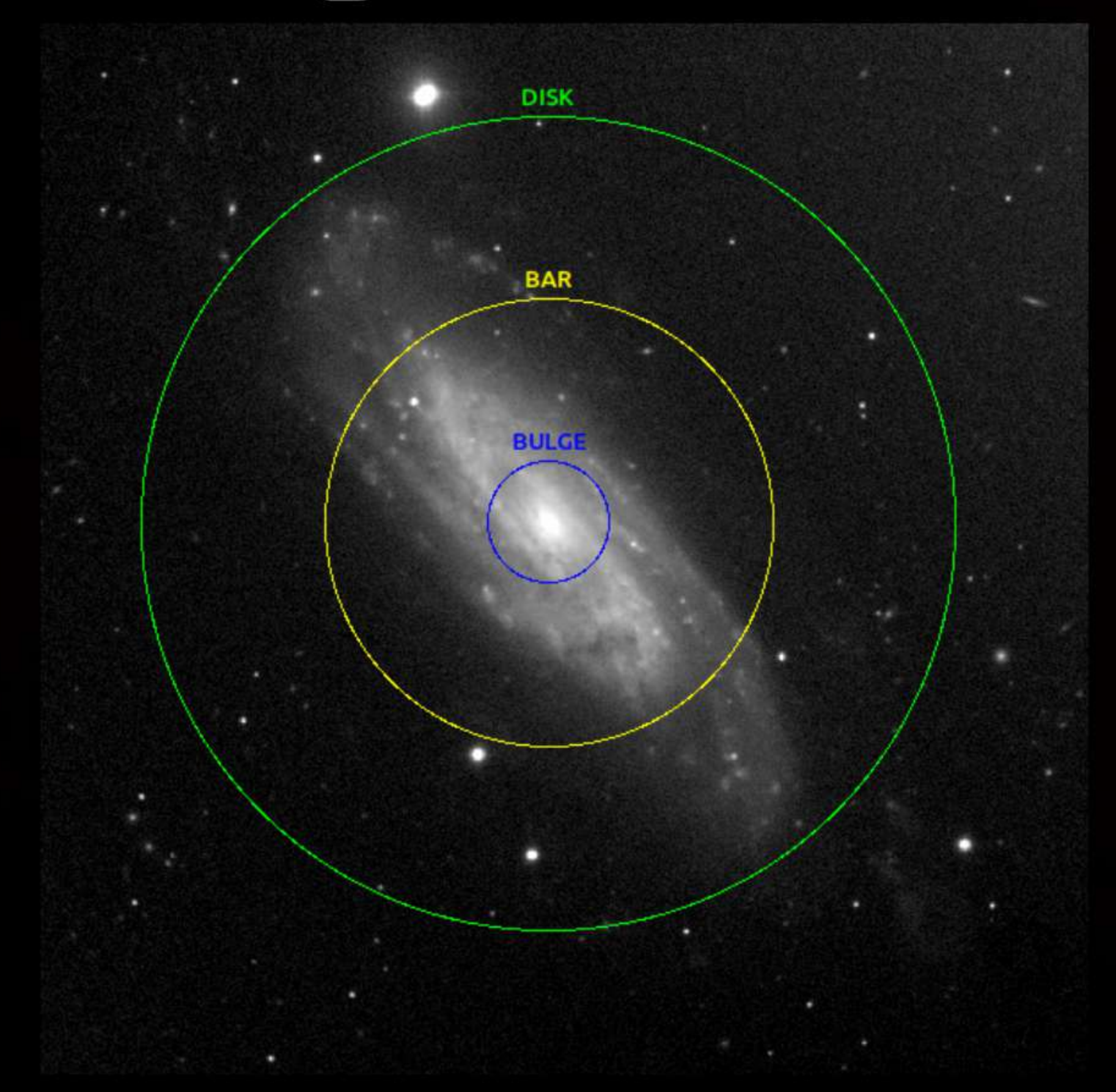
$$I_{Ser} = I_e \cdot e^{-b_n \left[\left(\frac{r}{r_e} \right)^{\frac{1}{n}} - 1 \right]}$$



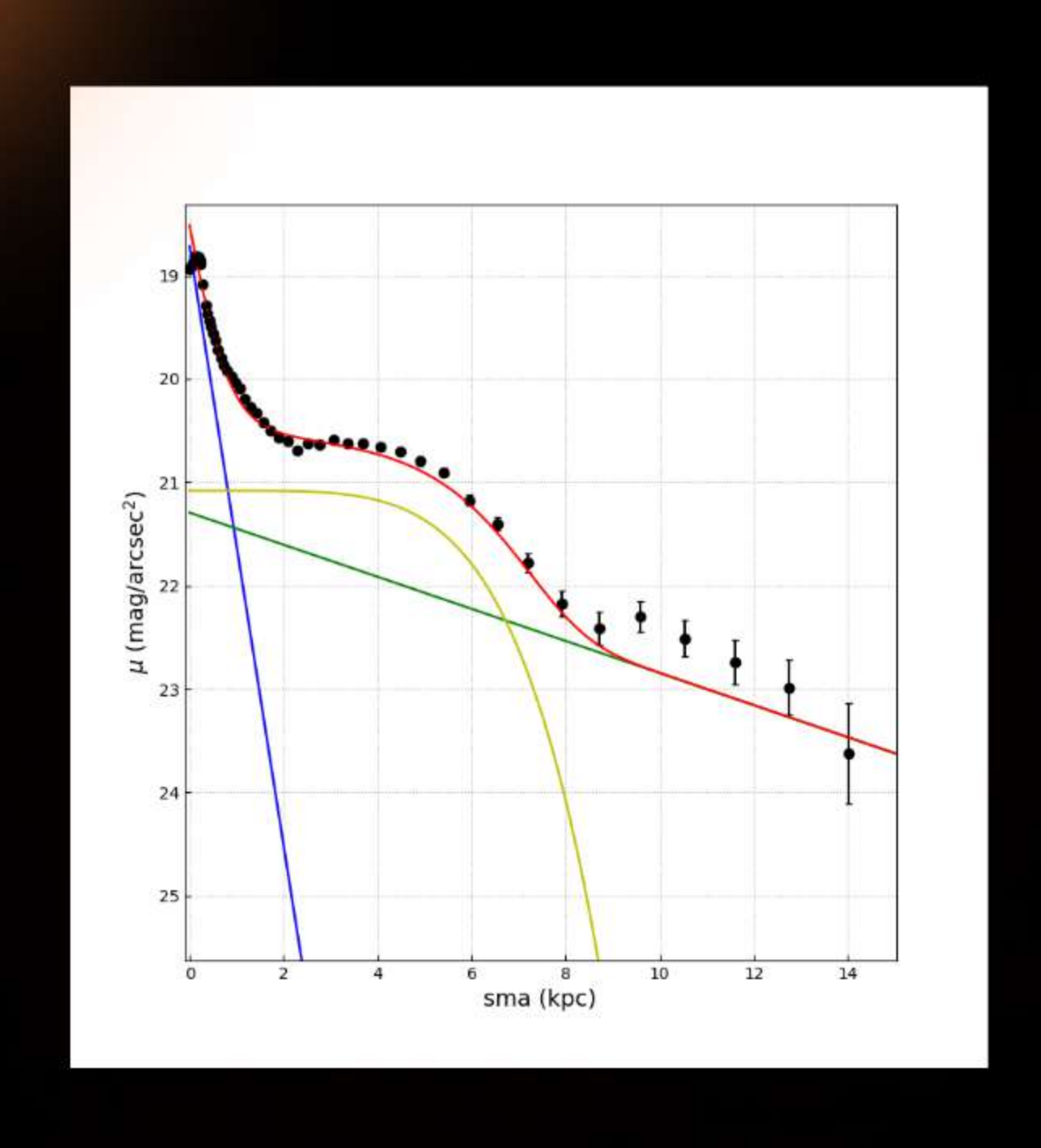
 $sma(kpc) = sma(arcsec) \times 0.07$

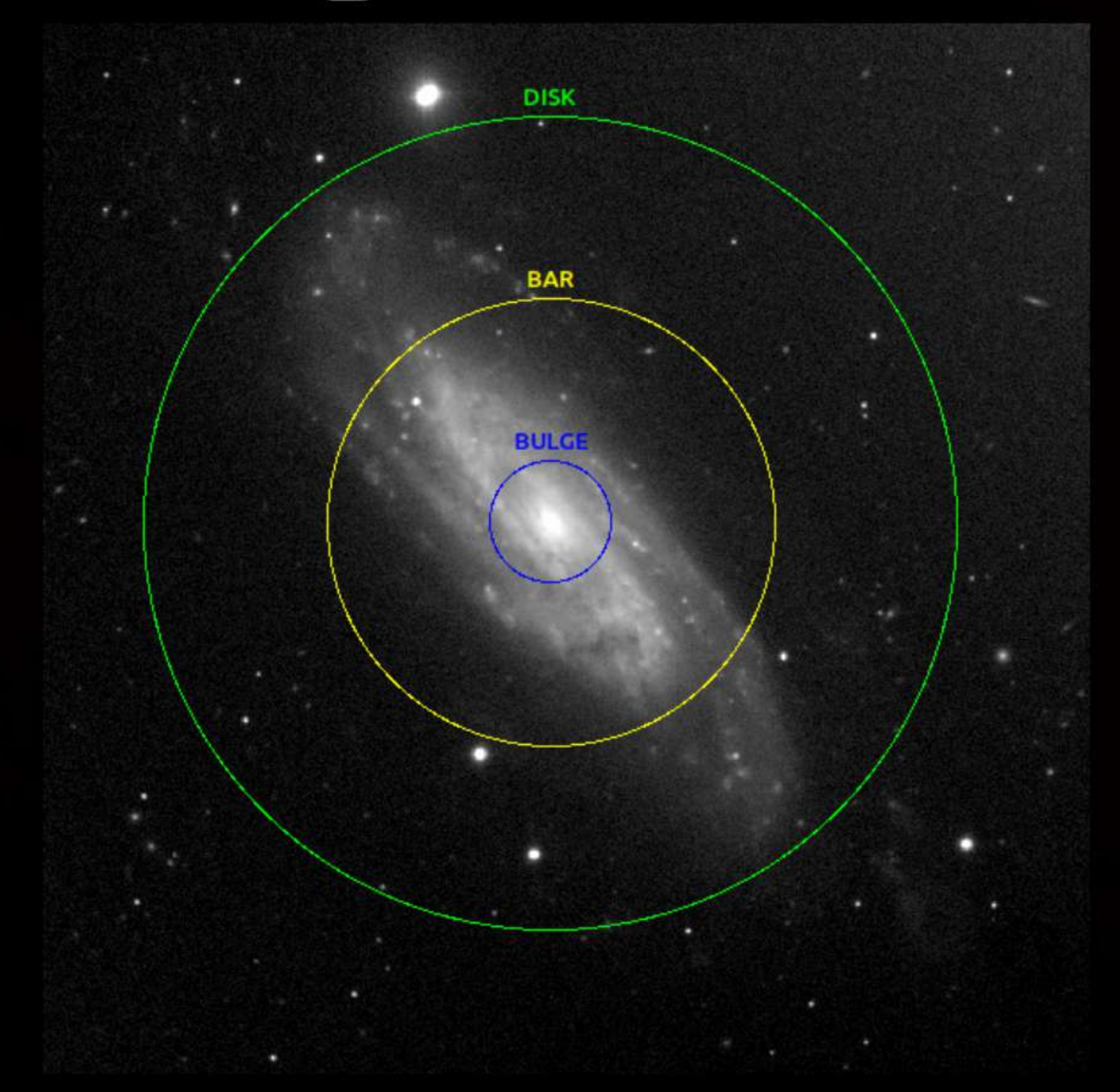
Corrispondenza tra grafico e foto



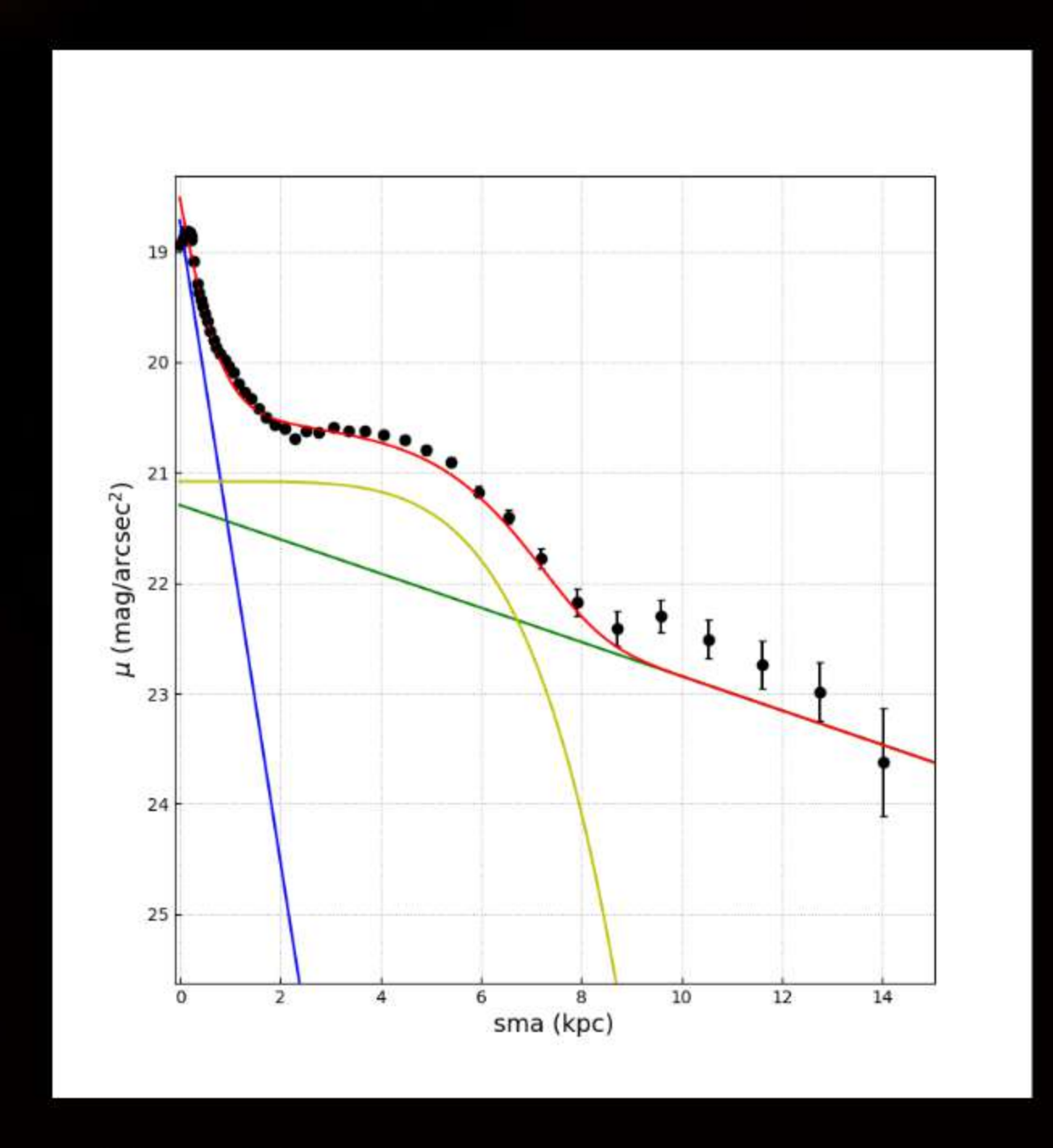


Corrispondenza tra grafico e foto

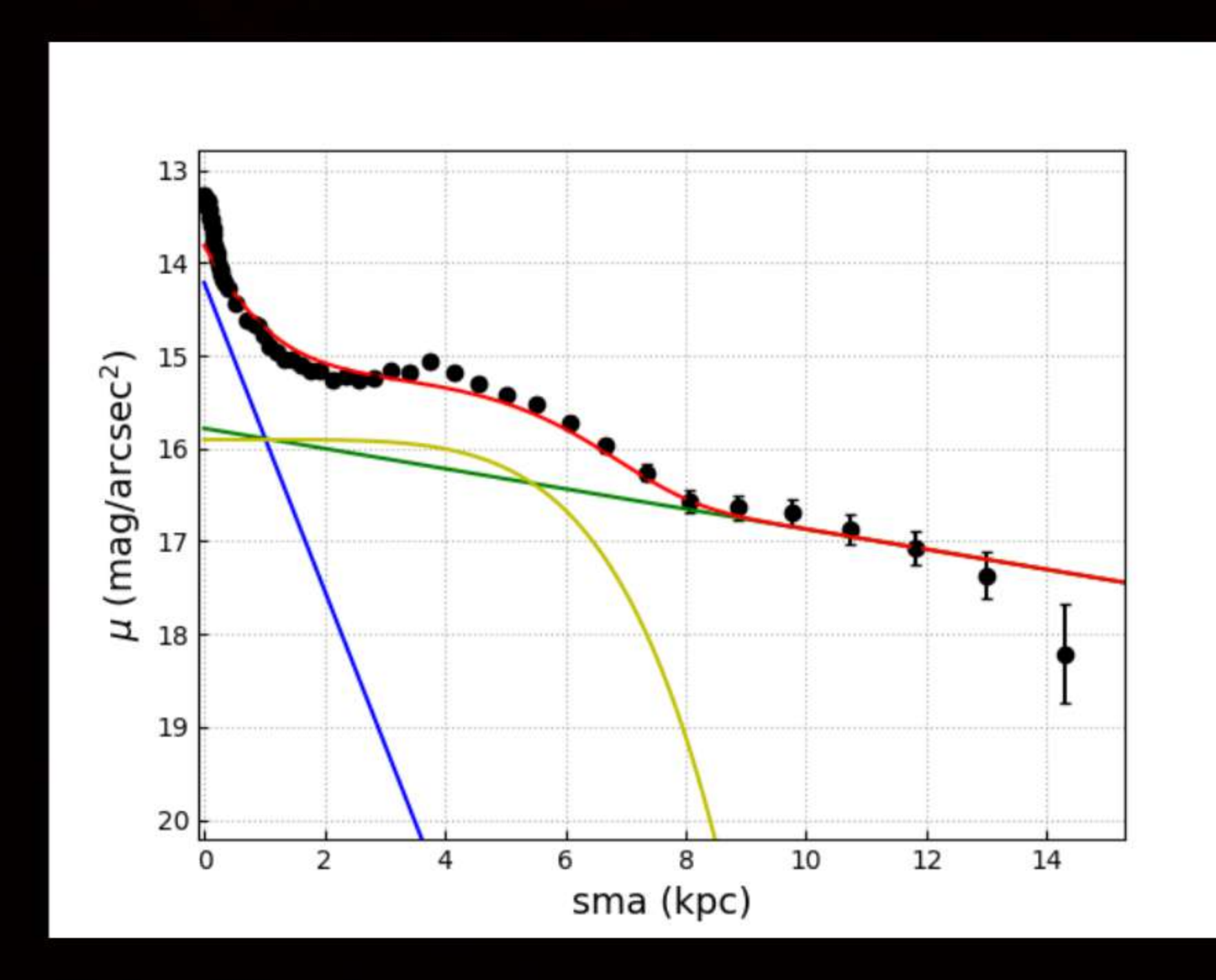




Confronto grafico R - grafico G



Filtro Red



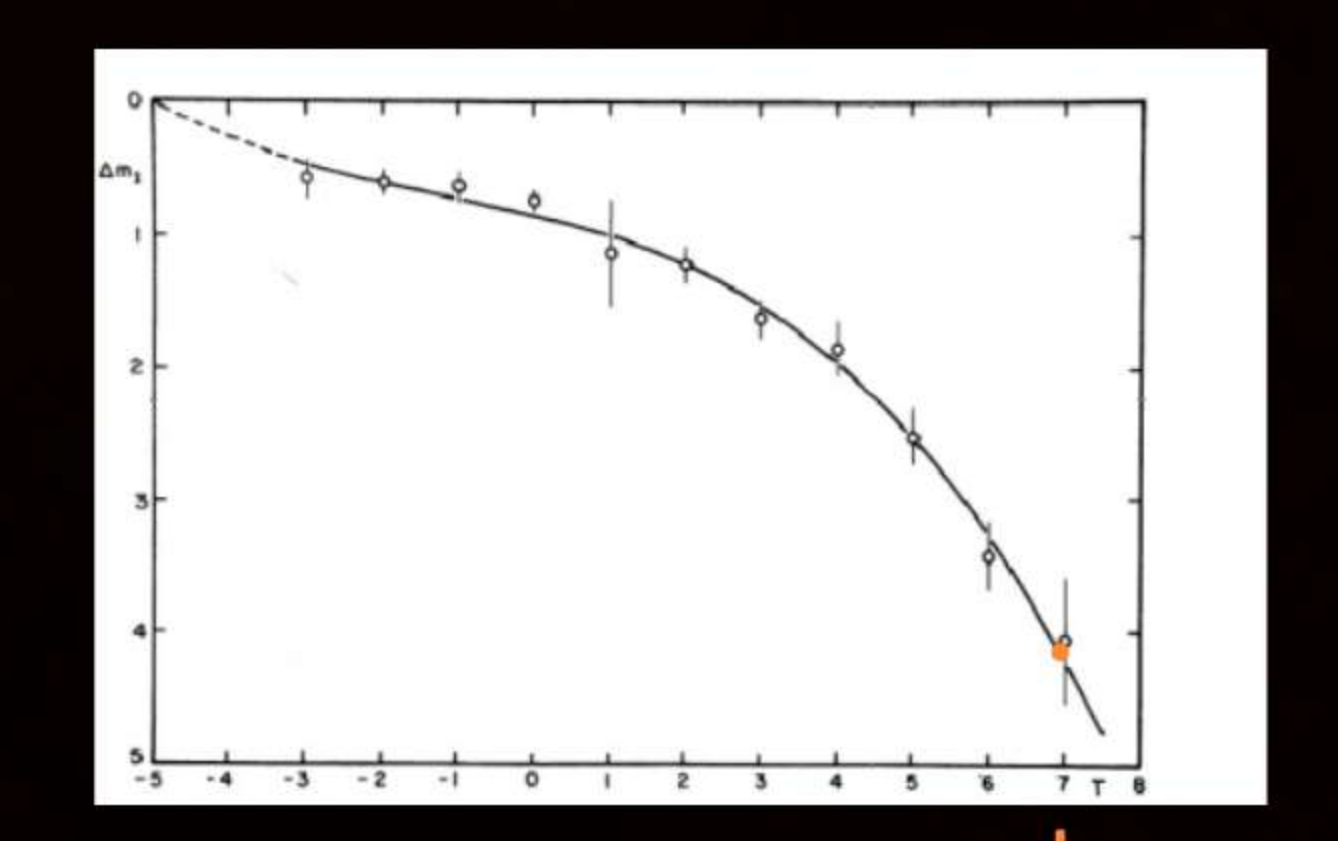
Filtro Green

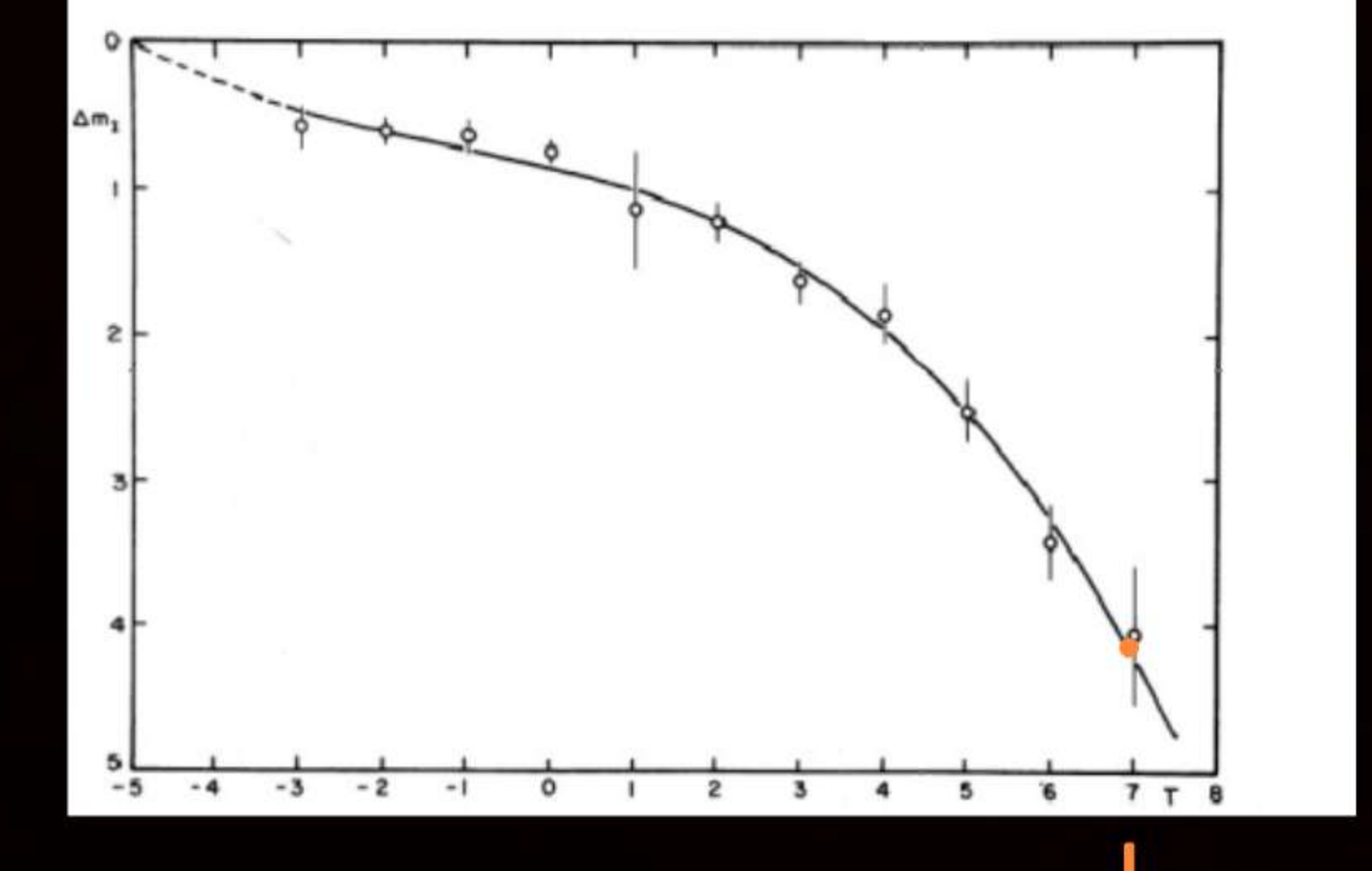
Stima del tipo morfologico secondo Hubble

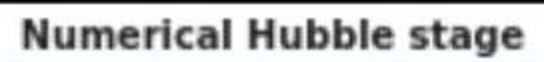
Con il valore B/T (intensità del bulge su intensità totale) della galassia è stato calcolata la differenza di magnitudine tra bulge e disco.

$$\Delta m_{I} = -2.5 \times log \left(\frac{B}{T}\right)$$

Dalla tabella sottostante è stato estrapolato il tipo di galassia, che è stato utilizzato per approssimare la morfologia della galassia.







| Hubble stage T | -6 | -5 | -4 | -3 | -2 | -1 | 0 | 1 | 2 | 3 | 4 | 5 | 6 | 7 | 8 | 9 | 9-10 | 10 | 11 | 12 | 13 |
|---|----|----|----|-----|-----|-----|----------|----|----------|----|-----|----|-----|----|------------|----|-------|----|-----------|------------|------|
| de Vaucouleurs class[17] | cE | E | E+ | 50- | 500 | S0+ | 50/ a | Sa | Sab | Sb | Sbc | Sc | Scd | Sd | Sdm | Sm | lr | lm | Irp | d Trans | dSpł |
| approximate Hubble class ^[20] | | E | | | 50 | | 50/ a | Sa | Sa- b | Sb | Sb- | | Sc | | Sc- Irr | | Irr I | | Irr II | d E | dSp |

Grazie per l'attenzione!

Gruppo di ricerca formato da: Giabardo Andrea, Oggioni Annà, Pasin Damiano, Vendramin Alessandro

dal Liceo Duca Degli Abruzzi e Leonardo Da Vinci di Treviso

NGC3198

Analisi morfologica

